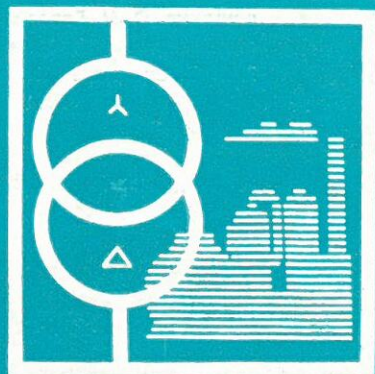


ПРОМЫШЛЕННАЯ Энергетика

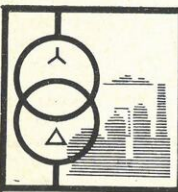
8-12



Коммунизм — это есть Советская власть

плюс электрификация всей страны.

Ленин



ПРОМЫШЛЕННАЯ ЭНЕРГЕТИКА

ОРГАН МИНИСТЕРСТВА ЭНЕРГЕТИКИ И ЭЛЕКТРИФИКАЦИИ СССР
И ЦЕНТРАЛЬНОГО ПРАВЛЕНИЯ НАУЧНО-ТЕХНИЧЕСКОГО ОБЩЕСТВА
ЭНЕРГЕТИКИ И ЭЛЕКТРОТЕХНИЧЕСКОЙ ПРОМЫШЛЕННОСТИ

12 1978
Декабрь

Журнал основан в 1944 году

СОДЕРЖАНИЕ

День энергетика	2	Балуев Е. Д. — Дополнительные рекомендации по снижению коррозии в системе котел — бойлер	20
ЛУЧШИЕ ЛЮДИ ПРОМЫШЛЕННОЙ ЭНЕРГЕТИКИ			
Наставник молодежи	4	Проектные и научно-исследовательские разработки	21
Заслуженный инженер республики	5	Вейнгер А. М., Серый И. М., Башин Н. А., Садчиков К. Г., Савельев А. С., Мильников Ю. Л., Ходолов А. И., Гайдабура В. В., Беломестный В. В. — Экспериментальное определение параметров компенсированного синхронного двигателя	24
Теплоэнергетик и металлурги	5	Пашинян А. З., Эзогарас А. И., Дубровский А. В., Щединский А. А. — Автоматическое регулирование частоты вращения дисков вакуум-фильтров с применением приводов переменного или постоянного тока	26
Юбилей заслуженного энергетика	6	Долин А. П. — Влияние параметров опор на электродинамическую стойкость шинных линий	29
Специалист теплоэнергетик	7	Федоров А. А., Семинчевский П. И. — Методика расчета дополнительных потерь, обусловленных высокими гармониками	31
Директор проектного института	8	Чертков Ю. П., Баренбум Ю. М. — Устройство для индикации объектов телеметрического измерения на дисплетчерском щите	32
ЭКОНОМИЯ ЭНЕРГЕТИЧЕСКИХ РЕСУРСОВ			
Мартиросянц А. А., Задов А. П., Рассказова А. Я. — Опыт Бакинского нефтеперерабатывающего завода по экономии электроэнергии	8	Щукин В. И., Сидоров А. И., Ситихин Ю. В. — К вопросу о допустимых токах	34
Олейников В. К., Махин А. М., Патшин Н. Т., Касимов И. А., Жубиг В. К. — Планирование электроэнергетического производства железнорудных концентратов	10	Базылев В. Г., Бузулакский В. Е., Иванов В. Б., Миняева А. Р., Соловьев И. И., Борисов В. Е. — Горелка с регулируемым длиной и светимостью факела	34
Псахис Б. И., Попов А. В., Большиakov В. И., Горшков В. Г. — Методы эффективного использования низкотемпературных ВЭР химических производств	12	Крыленко В. И., Агееva Т. А. — Разработка рациональных схем улавливания окислов серы из дымовых газов котлоагрегатов	34
ЭКСПЛУАТАЦИЯ, МОНТАЖ И НАЛАДКА			
Попов В. П., Заславец Б. И., Мирошкин П. П. — Эксплуатация электрооборудования обогатительной фабрики в Апатитах с ее помощью	15	Некролог — Борис Апостолович Делибас	39
Ильин А. М. — Новые электроизоляционные материалы для двигателей очистных комбайнов и забойных конвейеров	18	Алфавитный указатель статей, помещенных в журнале «Промышленная энергетика» в 1978 г.	40
Шапкин В. В. — Об организации технического обслуживания и ремонта электрооборудования	19		

РЕДАКЦИОННАЯ КОЛЛЕГИЯ

Д. Н. Багров, Б. Д. Белый, Я. М. Большам, С. И. Веселов (главный редактор), Н. И. Вощенко, П. И. Головкин, В. Л. Громова, Е. А. Джапаридзе, А. П. Егоричев, Б. А. Константинов, С. С. Лазарев, Б. Д. Мюкаршин (зам. гл. редактора), В. В. Михайлов, Б. Онищенко, М. Н. Павлов, Ю. Л. Рыжнев, Н. И. Рабцев, В. И. Савин, Б. В. Сазанов, Б. А. Соколов, И. А. Шадрухин (зам. гл. редактора).



Адрес редакции: 103012, Москва, К-12, б. Черкасский пер., 2/10. Телефон 221-66-04.

а) в (сеть переменного тока)	220/380 + (10 ± 15%)
в) при минимальной частоте азота	10,6
в) при максимальной частоте вращения нагружкой	50–100
г) УМЗП	32,32,31
д) АОС2-424	

(ниг годы Бердичевский завод химического инжиниринга «Прогресс» начал выпускать вакуум-а «Украина-80» с регулируемым электроприводом постоянного тока серии ПМУМ-С [Л. 4]. Привод имеет более жесткую характеристику управления, представленную на эскизе диапазон регулирования частоты вращения из недостатков такого привода является нестабильность его к автоматическому управлению

автоматического управления электроприводом А-С в сочетании с аппаратурой типа САРФ стан специальный блок управления, состоящий из трансформатора Т и выпрямителя V (рис. 2). Мост V подключен в разрыв движущего контакта задатчика скорости, который входит в комплект привода серии А-С. На этом отрицательный вывод выпрямителя подключен к движущему контакту задатчика. Для зажигания перенапряжения в цепях управления тока в цепь сигнала управления включен ограничитель S, механически связанный с осью Контроль частоты вращения электродвигателя вольтметром.

В автоматическом режиме работы указатель заданного значения находиться в среднем положении, случае при изменении сигнала управления в. Частота вращения двигателя будет ме-

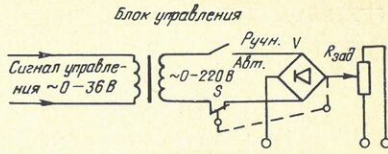


Рис. 2. Блок управления.

няться от 50 до 100% максимального значения. Этого вполне достаточно для регулирования производительности вакуум-фильтра в требуемых пределах.

Достоинствами приведенной схемы блока управления являются ее простота и возможность сохранения заводского монтажа преобразователя ПМУМ-С. С помощью такого блока осуществляется автоматическое регулирование частоты вращения дисков вакуум-фильтров типа «Украина-80» в зависимости от уровня в сборнике флотоконцентрата на обогатительной фабрике ПО Ворошиловградуглеобогащение. Станции автоматического управления приводами вакуум-фильтров в составе аппаратуры типа САРФ-З эксплуатируются на ряде обогатительных фабрик Донбасса и в ПО Южкузбассуголь.

СПИСОК ЛИТЕРАТУРЫ

- Автоматизация и автоматизированные системы управления в угольной промышленности. Под общей редакцией Ф. Братченко. М.: Недра, 1976.
- Пашкан А. Я., Шелинский А. А., Черник Ю. П. Регулятор прямого действия автоматической стабилизации уровня пульпы в ванне вакуум-фильтра. — Кокс и химия, 1974, № 9.
- Бойчук Л. М., Костенко Ю. В. Бесконтактные схемы автоматического управления асинхронными двигателями. К.: Техника, 1967.
- Регулируемый электропривод. Сводный каталог. М.: Информэлектро, 1974, вып. 1.



УДК [621.316.35+621.315.623].016:352.001.24

ВЛИЯНИЕ ПАРАМЕТРОВ ОПОР НА ЭЛЕКТРОДИНАМИЧЕСКУЮ СТОЙКОСТЬ ШИННЫХ ЛИНИЙ

Инж. А. П. ДОЛИН

Московский энергетический институт

Представлены результаты теоретических и лабораторных исследований влияния параметров на электродинамическую стойкость токопроводов. На электродинамическую стойкость токопроводов влияют параметры опор, напряжение на шинах, масса, возникающая при к. з., вычисляемая по формуле

$$R_{\max} = \frac{a}{a^2} I_{\max}^2 \eta_k; \quad (1)$$

$$\sigma_{\max} = \frac{a^2}{12aW} I_{\max}^2 \eta_k,$$

a — Н/А^2 ; I — длина пролета шины, м; a —

расстояние между фазами, м; I_{\max} — амплитуда периодической составляющей тока к. з., А; W — момент сопротивления шины, м^3 ; η_k и η_d — коэффициенты максимальной нагрузки на изоляторы и напряжения в материале шины.

Значения коэффициентов η_k и η_d определяются путем решения задачи о колебании балки с распределенной по длине массой на жестких [Л. 1, 2] или упруго податливых [Л. 3] опорах. В общем случае они зависят от частоты собственных колебаний системы шина — изоляторы и постоянной времени затухания апериодической составляющей тока к. з. T_d .

Частота собственных колебаний шинной конструкции f_k , Гц, где k — номер гармоники, определяется из

выражения

$$f_k = \frac{r_k}{2\pi l^2} \sqrt{\frac{EJ}{m}}, \quad (2)$$

где E и J — модуль упругости материала шины, Па, и момент ее инерции, м^4 ; m — масса шины на единицу длины, $\text{кг}/\text{м}$; r_k — параметр частоты, являющийся функцией $c_{\text{оп}} l^2/EJ$ ($c_{\text{оп}}$ — жесткость опоры, Н/м) и $M_{\text{пр}}/ml$ ($M_{\text{пр}}$ — приведенная масса опоры, кг).

При высокой жесткости опор шин ($c_{\text{оп}} l^2/EJ > 10000$ –30 000) параметр частоты основной гармоники r_1 можно считать равным 4,73, а параметр третьей гармоники r_3 — равным 10,996. Четные гармоники собственных колебаний у симметричных (относительных центров пролетов) шинных конструкций не возбуждаются. С уменьшением $c_{\text{оп}} l^2/EJ$ и увеличением $M_{\text{пр}}/ml$ параметр частоты r_k снижается, а следовательно, снижается и частота собственных колебаний системы шина — изоляторы [Л. 3].

При колебании шины в плоскости, перпендикулярной оси изолятора, $M_{\text{пр}}$ вычисляют по формуле [Л. 3]:

$$M_{\text{пр}} = \frac{c_{\text{оп}}}{(2\pi f_{\text{оп}})^2}, \quad (3)$$

где $f_{\text{оп}}$ — частота собственных колебаний опоры шины, Гц.

Частоту колебаний опоры желательно определять экспериментально, однако для некоторых типов опорных конструкций (табл. 1) ее можно найти из выражения

$$f_{\text{оп}} = \frac{r_k}{2\pi} \sqrt{\frac{c_{\text{оп}}}{3M}}, \quad (4)$$

где r_k — параметр частоты собственных колебаний опоры шины (рис. 1), зависящий от коэффициента U [Л. 4], который равен отношению массы шинодержателя $M_{\text{ш}}$ (или изолятора $M_{\text{из}}$), сосредоточенной на конце опоры, к массе изолятора (или опорной колонны $M_{\text{кол}}$), равномерно распределенной по длине.

Подставив выражение (4) в формулу (3), получим:

$$M_{\text{пр}} = 3M/r_k^2. \quad (5)$$

Зависимость, приведенная на рис. 1, справедлива при малой конусности опоры шины, имеющей сосредоточенную на вершине массу. Жесткость элементов опоры должна удовлетворять условиям, указанным в табл. 1.

Определим частоты собственных колебаний опор двух экспериментальных шинных линий напряжением 110 кВ, созданных за рубежом.

Пример 1. Опорный изолятор закреплен на неподвижном основании. Масса изолятора $M_{\text{из}}=47,6$ кг, координатные зажимы и крепление шины к изолятору $M_{\text{ш}}=3$ кг, жесткость изолятора $c_{\text{из}}=1960$ кН/м. Поскольку $M_{\text{ш}} \ll M_{\text{из}}$, параметр частоты принимаем равным 1,875. При этом согласно выражению (4) частота

Тип конструкции	Соотношение параметров опорной конструкции	Коэффициент τ	Масса звена опоры M , кг
Опорный изолятор	$M_{\text{ш}} \ll M_{\text{из}}$ $c_{\text{ш}} \gg c_{\text{из}}$	1	$M_{\text{ш}} + M_{\text{из}}$
Опорный изолятор на упругой колонне	$c_{\text{кол}} \ll c_{\text{из}}$	$M_{\text{ш}}/M_{\text{из}}$	$M_{\text{кол}}$

колебаний опоры $f_{\text{оп}}=63,5$ Гц. Экспериментальное значение $f_{\text{оп}}$ составляло 58,9 Гц.

Пример 2. Конструкция с опорными изоляторами, укрепленными на высоких металлических ступенчатых колоннах. Масса колонны $M_{\text{кол}}=234$ кг, жесткость $c_{\text{кол}}=310$ Н/см, высота $H_{\text{кол}}=81$ м. Масса изолятора $M_{\text{из}}=470$ кг, жесткость $c_{\text{из}}=4050$ Н/см, высота $H_{\text{из}}=3,51$ м. Примем массу колонны распределенной равномерно, а массу изолятора — сосредоточенной на конце колонны. При этом $U=2,008$. По кривой, приведенной на рис. 1, определяем $r_{\text{оп}}=1$. Поскольку $c_{\text{кол}} \ll c_{\text{из}}$, массу M примем равной массе колонны $M_{\text{кол}}$. Тогда согласно выражению (4) частота колебаний опоры $f_{\text{оп}}=1,05$ Гц. Экспериментально полученное значение частоты колебаний опоры составляет 0,96 Гц, т. е. отличается от расчетного только на 9%.

Приближенно значение приведенной массы можно найти следующим образом:

$$M_{\text{пр}} \approx M_{\text{оп}} \left(\frac{H_{\text{ш},\tau}}{H} \right)^2, \quad (6)$$

где $M_{\text{оп}}$ — суммарная масса опоры; $H_{\text{ш},\tau}$ и H — расстояния от основания опоры до центров тяжести опоры и сечений шины.

Значение $H_{\text{ш},\tau}$ определяют по известной формуле

$$H_{\text{ш},\tau} = \sum_{i=1}^n M_i H_i / \sum_{i=1}^n H_i, \quad (7)$$

где M_i и H_i — масса и расстояние от основания опоры до центров тяжести ее отдельных элементов; n — количество элементов.

Значения $M_{\text{пр}}$, вычисленные по формулам (3) и (6) для опоры, рассмотренной в первом примере, равны 12,55 и 14,32 кг, а для опорной конструкции во втором примере — 310,9 и 302 кг. Таким образом, приведенную

Конструкция шинной линии	L , м	μ , Н·м	$c_{\text{оп}}/l^2$, Н/м	$M_{\text{пр}}$, кг	$c_{\text{оп}} l^2/EJ$	$M_{\text{пр}}/ml$	r_1	r_3	$f_{\text{расч}}$, Гц	$f_{\text{расч}}$, Гц	$f_{\text{эксп}}$, Гц	$f_{\text{эксп}} - f_{\text{расч}}$, %
На спиральных изоляторах типа ОФ-10-37ГУЗ	0,45 0,15	3—40 15—20	620 1,346	1,3:6 1,3:46	21:1 1:1	2,3 2,3	3,03 2,62	7,97 7,94	88,1 63,3	237 234	92—96 33—44	— 59
На опорных изоляторах с резиновыми прокладками	0,45	35	2 0	1,346	125	2,3	2,47	5,03	56,3	233	42	— 34
На жестких опорах	0,45	—	—	—	10 000	—	4,73	13,996	235,5	1116	210—212	— 2—2,5

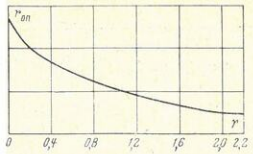


Рис. 1.

достаточно точно можно найти по любой из формул (5) или (6).

Опора шин определяется экспериментально с учетом многих факторов, но главным образом — это жесткость шинодержателя, изолятора и основания опоры, на которое крепится, а также от податливости шин.

На рисунке 2 представлена схема одной из установок для определения жесткости опорных изоляторов. Испытываемый изолятор 2 крепится на несущей балке 1, под прямым углом к основанию 5, которое является на нижней траверсе 6 разрывной рузы, создаваемая при перемещении по нижней траверсе 6, передается на изолятор 8 системы Токаря. Прогиб изолятора измеряется индикаторами часового типа 7, закрепленными на изоляторах 3, которые вставляются в муфты заземления с несущей балкой 1. Это позволяет исключить влияние качества изоляции на результаты измерения, обусловленную изгибом изолятора.

Жесткость опоры в значительной мере определяется жесткостью болтовых соединений и степенью их затяжки. На рисунке 3 приведена усредненная экспериментальная зависимость жесткости опорных изоляторов типа ОФ-10-375УЗ от момента затяжки крепежного болта и жесткости изоляторов. С уменьшением момента затяжки изоляторов, усиливается нелинейность характеристики $P=f(y)$, становясь шире петли нагрузки — разгрузки. Однако для практических расчетов можно использовать линеаризованное выражение (8).

Разброс значений жесткости изоляторов возрастает с уменьшением затяжки крепежного болта и при $\mu = 10-20$ Н·м может достигать 25—35% среднего значения. На жесткость изоляторов существенное влияние оказывают установленные под ними прокладки. Например, при замене обычных картонных прокладок резиновыми жесткость изоляторов типа ОФ-10-375УЗ уменьшалась в 2—3 раза.

В соответствии с теоретическими исследованиями ослабление болтовых соединений должно приводить к снижению частоты собственных колебаний системы шина — изоляторы. Для подтверждения этого были проведены испытания экспериментальной двухпроводной пятипролетной шинной линии с изоляторами указанного типа (рис. 4) и ее модификации с практической абсолютной жесткостью опорами. Шины марки АДО прямоугольного сечения (60×8 мм²) устанавливались на ребро и крепились специальными шинодержателями, выполненным из профильной стали и обладающими высокой жесткостью, к опорным изоляторам или к неподвижному жесткому основанию.

Удельная масса шины m составляла 1,301 кг/м, а модуль упругости ее материала E был равен $7 \cdot 10^4$ МПа. Опыты на конструкции с опорными изоляторами, имеющими картонные и резиновые прокладки, проводились при длине пролета $l = 0,45$ и $0,65$ м. Основные характеристики испытывавшихся шинных конструкций приведены в табл. 2. Значения M_{np} определялись приближенно по формуле (6).

Экспериментальное значение частоты собственных колебаний шины с жесткими опорами при длине пролета 0,45 м составляло 210—212 Гц. При испытании линии

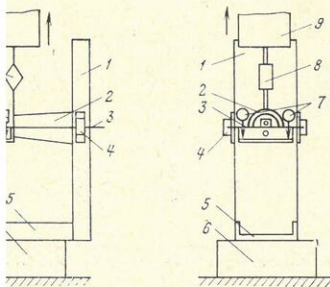


Рис. 2.

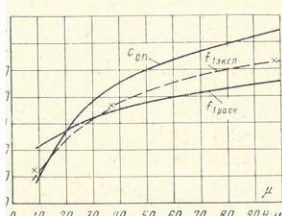


Рис. 3.

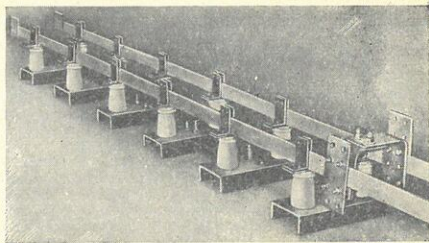


Рис. 4.

Жесткость изоляторов (опор), кН/м, можно найти из выражения

$$c = P/y, \quad (8)$$

где P — приложенная статическая нагрузка, Н; y — прогиб изолятора, мм.

Исследования показали, что зависимость $P=f(y)$, как правило, нелинейна. С изменением нагрузки жесткость изоляторов не остается постоянной, линии нагрузки и разгрузки не совпадают. Это объясняется механическим гистерезисом материала изоляторов и крепежных болтов, а также ослаблением болтовых соединений в процессе испытаний. В ряде случаев на результаты исследований оказывалось также влияние качества заложки арматуры изолятора.

Жесткость опоры в значительной мере определяется жесткостью болтовых соединений и степенью их затяжки. На рисунке 3 приведена усредненная экспериментальная зависимость жесткости опорных изоляторов типа ОФ-10-375УЗ от момента затяжки крепежного болта и жесткости изоляторов. С уменьшением момента затяжки изоляторов, усиливается нелинейность характеристики $P=f(y)$, становясь шире петли нагрузки — разгрузки. Однако для практических расчетов можно использовать линеаризованное выражение (8).

Разброс значений жесткости изоляторов возрастает с уменьшением затяжки крепежного болта и при $\mu = 10-20$ Н·м может достигать 25—35% среднего значения. На жесткость изоляторов существенное влияние оказывают установленные под ними прокладки. Например, при замене обычных картонных прокладок резиновыми жесткость изоляторов типа ОФ-10-375УЗ уменьшалась в 2—3 раза.

В соответствии с теоретическими исследованиями ослабление болтовых соединений должно приводить к снижению частоты собственных колебаний системы шина — изоляторы. Для подтверждения этого были проведены испытания экспериментальной двухпроводной пятипролетной шинной линии с изоляторами указанного типа (рис. 4) и ее модификации с практической абсолютной жесткостью опорами. Шины марки АДО прямоугольного сечения (60×8 мм²) устанавливались на ребро и крепились специальными шинодержателями, выполненным из профильной стали и обладающими высокой жесткостью, к опорным изоляторам или к неподвижному жесткому основанию.

Удельная масса шины m составляла 1,301 кг/м, а модуль упругости ее материала E был равен $7 \cdot 10^4$ МПа. Опыты на конструкции с опорными изоляторами, имеющими картонные и резиновые прокладки, проводились при длине пролета $l = 0,45$ и $0,65$ м. Основные характеристики испытывавшихся шинных конструкций приведены в табл. 2. Значения M_{np} определялись приближенно по формуле (6).

Экспериментальное значение частоты собственных колебаний шины с жесткими опорами при длине пролета 0,45 м составляло 210—212 Гц. При испытании линии

наблюдались свободные колебания с первой собственной частотой, равной 59 Гц. Аналитически найденные значения частот собственных колебаний были на 15—30% ниже экспериментальных, что, по-видимому, вызвано поспешностью при определении M_{np} по формуле (6).

ВЫВОДЫ

1. Электродинамическая стойкость шинных линий в значительной мере зависит от степени затягивания крепежных болтов изоляторов. Ослабление болтов в процессе эксплуатации может привести к значительному снижению частоты собственных колебаний шинных конструкций, а следовательно, к изменению ожидаемых при φ напряжений в шинах и нагрузок на изоляторы.

2. При установке под изоляторами резиновых прокладок вместо обычных картонных снижается жесткость опоры и значительно уменьшается частота собственных колебаний системы шина — изоляторы.

3. Искусственно воздействие на жесткость опор, можно подбирать наиболее оптимальные частоты собственных колебаний шинных конструкций с точки зрения их электродинамической стойкости.

СПИСОК ЛИТЕРАТУРЫ

1. Кудрявцев Е. П., Долин А. П., Васильев А. А. Методика расчета шин и опорных изоляторов распределительных устройств напряжением до 35 кВ на электродинамическую стойкость. — Промышленная энергетика, 1975, № 11.

2. Долин А. П. Электродинамическая стойкость изоляторов и шин, расположенных по вершинам треугольника. — Промышленная энергетика, 1977, № 7.

3. Кудрявцев Е. П., Долин А. П. Методика расчета электродинамической стойкости токопроводов напряжением 110 кВ и выше с учетом податливости опор. — Электричество, 1977, № 5.

4. Филиппов А. П. Колебания деформируемых систем. М.: Машиностроение, 1970.



УДК 621.3.016.24.001.24

МЕТОДИКА РАСЧЕТА ДОПОЛНИТЕЛЬНЫХ ПОТЕРЬ, ОБУСЛОВЛЕННЫХ ВЫСШИМИ ГАРМОНИКАМИ

Доктор техн. наук А. А. ФЕДОРОВ, инж. П. И. СЕМИЧЕВСКИЙ

Московский энергетический институт

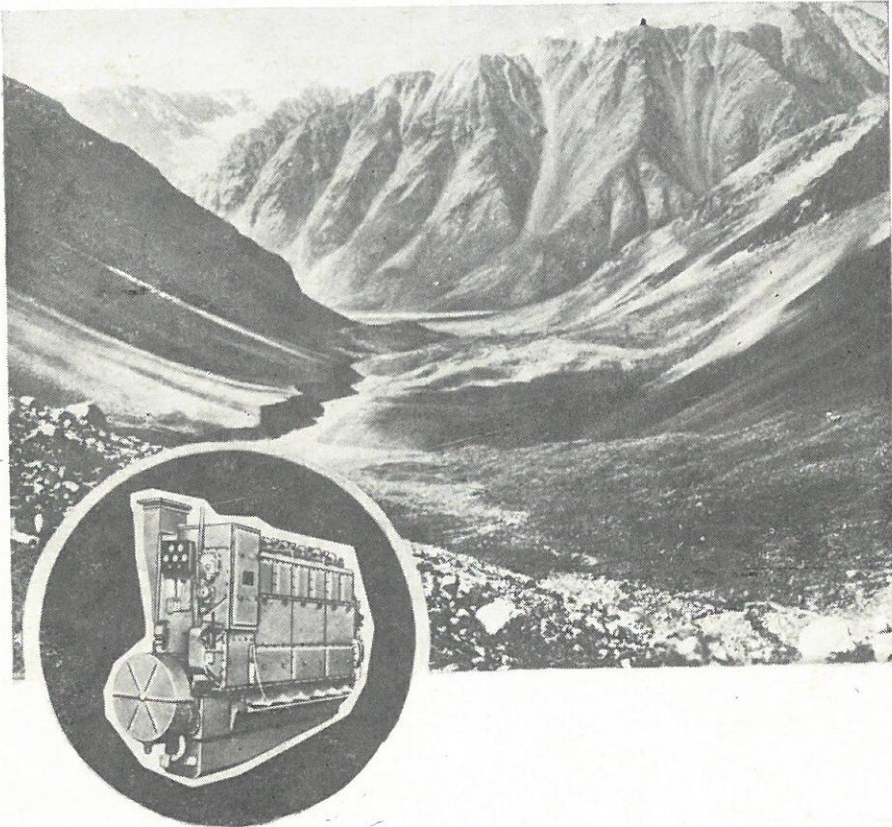
Полупроводниковые преобразовательные агрегаты все больше вытесняют в металлургической промышленности ртутные и электромагнитные преобразователи. Они обладают следующими преимуществами перед ионными преобразователями: более высокий к. п. д.; возможность работы в более широком диапазоне температур окружающей среды; меньшие масса и габариты; малое время отпирания и восстановление управляемости после пропускания тока; меньшие эксплуатационные расходы и т. д. Однако вентильные преобразователи, имеющие нелинейную вольт-амперную характеристику, отрицательно влияют на питающую их сеть (нарушает синхронность кривой напряжения).

Высшие гармоники тока и напряжения вызывают дополнительные потери активной мощности и электрической энергии в элементах системы электроснабжения (СЭС) промышленного предприятия. При этом затрудн

яется применение косинусных конденсаторных батарей из-за возможных резонансных или близких к ним режимов на частотах высших гармоник. Происходит ускоренное старение изоляции электрооборудования вследствие диллектрического и дополнительного ее нагрева. Высшие гармоники оказывают вредное воздействие на коммутацию трехфазных коллекторных двигателей, а также вызывают ложное срабатывание некоторых устройств релейной защиты, контроля, автоматики, телемеханики и связи. Для исключения указанных явлений нужно снижать уровень высших гармоник до допустимых пределов. Минимизация их осуществляется на основе технико-экономических расчетов по минимуму суммарных приведенных затрат.

В настоящее время не выпускаются приборы, с помощью которых можно непосредственно измерять значения дополнительных потерь активной мощности и

40 к.



В местах, удаленных от распределительных электросетей, выгоднее всего использовать дизель-электрические агрегаты типа ДГ-66.

Ток

Напряжение

Мощность

Трехфазный переменный

400/230 или 6300 В

630 кВт

Обеспечивается обучение специалистов по техническому обслуживанию и эксплуатации агрегатов, поставляются запасные части.

Экспортер: В/О Энергомашэкспорт, СССР, 127486, Москва, Дегунинская ул., 1, корп. 4. Телефон: 487-31-82. Телекс: 7565.



ENERGOMACHEXPORT

